

II-85 浮遊砂運動のシミュレーション

建設省土木研究所
正 上屋昭彦
星田口松
学生員 仲道義一

非常常時の浮遊砂の運動機構と差分化モデルについて追跡する試みは A.A. Kalinske⁽¹⁾ により実施されといらるが、当時の数値計算技術の限界のちひにいくつかの問題点が残されている。ここでは、

(1) カリンスクの差分化モデルの修正

(2) 河床からの浮遊砂量の供給モデル化

の 2 つを通して、浮遊砂運動のシミュレーションを試みた。さらにこの差分モデルを検証するため E.A. Einstein⁽²⁾ の Wash load の実験結果と比較して、

1. 差分化モデル

浮遊砂の輸送現象を最も簡単な

$$U \frac{\partial C}{\partial X} = \varepsilon \frac{\partial^2 C}{\partial Z^2} + W_0 \frac{\partial C}{\partial Z} \quad (U: \text{流れ方向の流速}, C: \text{各位置の濃度}, \varepsilon: \text{渦動粘性係数}, X, Z: \text{流れ方向と深さ方向}) \quad (1)$$

として考える。本式は、二次元の

$$\frac{\partial C}{\partial U} + U \frac{\partial C}{\partial X} = \varepsilon \left(\frac{\partial^2 C}{\partial X^2} + \frac{\partial^2 C}{\partial Z^2} \right) + W_0 \frac{\partial C}{\partial Z} \quad (2)$$

より、 $\frac{\partial C}{\partial U}$ を上流から定常な流入があり、各地点の水理量も変化しない範囲で考えるものとして無視し、 $\frac{\partial C}{\partial X}$ を $\frac{\partial C}{\partial Z}$ に比べて小さいものとして無視したものである。

この(1)式について、カリンスクは図-1 a mesh にちびりて差分化を行い、計算を実施している

$$U \frac{C_k - C_j}{\Delta X} = \varepsilon \frac{C_k' - 2C_j' + C_i'}{\Delta Z^2} + W_0 \frac{C_k' - C_j'}{\Delta Z} \quad (3)$$

図-1 差分マッシュ

= k + 1,

$$C_j^2 = C_j^1 + M [(C_k^1 - 2C_j^1 + C_i^1) + K (C_k^1 - C_j^1)] \quad (4)$$

$$M = \Delta Z \varepsilon / U \Delta Z^2, \quad K = \Delta Z W_0 / \varepsilon$$

カリンスクは、(4)式の演算に際し、 $\Delta Z = U \Delta Z^2 / \varepsilon$ をとり、さらに $C_j^1 = 0.5 (C_k^1 + C_i^1)$ の假定もとに数値計算を実施している。このあたり実際上、指数項が消えてしまうこととなる。

次に、図-1 a mesh 構造における河床の濃度の計算は実施できない限り、その値は仮定されなければならぬとして、実際上は平衡時の河床濃度 C_0 を用いているようである。

NASA の数値計算には、上記エラの問題点があるが、指数の問題については放物型の安定性の問題から $M < 1/6$ とすればよいであろう。河床濃度の問題については、浮遊砂から河床へ堆積する量は、河床濃度 C_0 と堆積速度 W_0 と表されるが、河床濃度と常に同じ速度で上方へ浮遊砂が持ち去られるべきだ。この河床濃度と運搬量に合わせようとするアルゴリズムが複雑となり、また、河床

万より水面の拡散項 $\frac{\partial^2 C}{\partial z^2}$ と C に近似するかといふことが問題となる。

では、カリソストと同様に z 方向に一定として以下のような差分モデルを構成した。

(1) 河床からの浮遊砂の浮上を考え、 z の深さ方向の濃度分布を $C_s(z)$ とする。

(2) 中間点については、 $M < \frac{1}{6}$ として(4)式の演算を実行する。

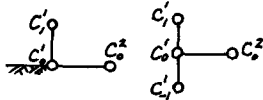


図-2

図-3

(3) 河床については、図-2 のような mesh の構成をとるが、図-3 の $z < \text{河床}$ の下に仮想の底面を考えてやり、二の C_1 を C_0 とする。

(4) 水面については、より下の濃度勾配が保たれることとする。

以上を考慮し、各点の濃度は以下のように求められる。

$$C_j^0 = C_{j0}^0 (M+MK) + C_j^1 (1-2M-MK) + C_{j1}^1 M + C_{sj} \quad (5)$$

$$C_0^1 = C_1^0 (M+MK) + C_0^1 (1-M-MK) + C_{s0} \quad (6)$$

$$C_{jN-1}^2 = C_{jN-1}^1 \times (C_{jN-1}^1 / C_{jN-2}^1) \quad (7)$$

表-1 差分式の係数表

位置	C_{j-1}	C_j	C_{j+1}	横方向係数和	斜方向係数和	C_{sj}
0(河床)	$1-M-MK$	$M+MK$	1	1-MK	1	
1	M	$1-2M-MK$	"	1	1	1
2	"	"	"	1	1	1
J	M	$1-2M-MK$	$M+MK$	1	1	1
⋮	⋮	⋮	⋮	⋮	⋮	⋮
$JN-2$	"	"	"	1	1	1
$JN-1$	M	$1-2M-MK$	$M+MK$	$\frac{1}{C_{jN-1}^0 + C_{jN-2}^1}$	$1-M + \frac{C_{jN-1}^0}{C_{jN-2}^1}$	$\frac{C_{jN-1}^0}{C_{jN-2}^1}$
JN (水面)	C_{jN-1}^0 / C_{jN-2}^1				$M+MK$	

以上の差分式を表示すると、表-1 の通りである。表-1 によると横方向の係数は差分式そのものと一致し、斜め方向の係数は差分式そのものの $\frac{1}{2}$ で表される。即ち河床では M が $\frac{1}{2}$ 減少し、中間点ではバランスしている。河床の減少割合 $M-K$ は水降水量 C_{s0} によって決まりであり妥当な値と考えられる。水面については上記係数をもつが、他の位置よりも影響が小さいと考えられるため計算上考慮の必要はない。

さて、計算にまで立たず差分式は平衡状態とカリソストとの平衡状態を比較してみよう。中間点については、 $C_{sj} = 0$ の部分については平衡状態と考えて、(5)式において C_j^1 は C_j^0 と等しいから、 $C_j^0 = C_j^1$ として变形すると

$$C_j^0 = [(1+k) C_k^0 + C_k^1] / (z+k) \quad (8)$$

一方カリソストの濃度分布式に従うと、

$$C_j^0 = e^{-\frac{z}{k}} C_k^0, \quad C_k^1 = e^{+k} C_k^0, \quad C_k^0 = e^{+k} C_k^1 = e^{-2k} C_k^0 \quad (9)$$

よって、 C_k^1 の係数と(8)式と等しいとおり、 C_k^0 の係数と(8)式と等しい

$$C_k^0 = (e^{+k} C_k^1) = C_k^1 / (z+k) + \alpha C_k^0 \quad (10)$$

表-2

(10)式に(9)式を代入して α を求める。

$$\alpha = e^k - e^{-2k} / (z+k) \quad (11)$$

この α が(8)式の C_k^0 の係数 ($\beta = (1+k) / (z+k)$) と等しいれば(8)式の平衡式は満足するが、上の表に示すように α が β より大きくなると考えられるが、長の間に伴う数値の誤差は表-2 の通りである。

これより、トボ小谷の場合 (U_k/W_0 が大、 W_0 が小) は妥当な計算が実行できるが、長が大きくなると差が大きくなる。従って、計算に大きな変化がある場合は k を採用しなければならない。

最後に浮遊砂の運動過程として以上のような差分モデルを用いて、以下(5)、(6)式の C_{sj} 、 C_{s0} とし

で算入式は河床からの浮遊砂の漂上について考える。

これは浮遊砂の運動の式である式に、運動式を導入したことはなまじ考えられますが、この実験についてはまだ未解である。今後実験的に検討しなければならない。

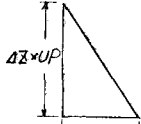
いま河床からの漂上量を単位面積、単位時間当り g_s とすと、この g_s は平衡時の河床濃度 C_{so} を考慮すれば、

$$g_s = C_{so} W_0 \quad (12)$$

となる。さて、1 落分空間 $\Delta T = \Delta x / U$ 、 $\Delta x \times$ 単位面積について漂上する質量は、 $g_s \times \Delta x^2 / U$ と書かれる。

漂上砂の濃度分布を $C_s(z)$ とすと、1 落分空間の漂上砂総量は

$$\Delta x \int_0^h C_s(z) dz$$



となり、漂上量とのバランスから

$$\Delta x \int_0^h C_s(z) dz = g_s \Delta x^2 / U \quad (13)$$

$$(13) 式は(12)式を代入すれば、\int_0^h C_s(z) dz = C_{so} \Delta x W_0 / U \quad (14)$$

図-4 漂上モデル とよぶれど、この $C_s(z)$ は実験的に検討されねばならない。今回では図-4 のような関数形を想定して本落分モデルによる漂上過程を検討した。図-4 の場合、 C_{so} と C_{so} は

$$C_{so} = \frac{1}{2} \frac{U}{W_0} \cdot \frac{U P \Delta x}{\Delta z} \cdot C_{so} \quad (15)$$

となる。 $\Delta x \ll M < 1/2$ とき $M = 0.1$ とおき、 $\varepsilon = U P \Delta x / \Delta z$

$$C_{so} = \frac{U P \cdot \varepsilon}{\Delta z} \cdot \frac{U \varepsilon}{W_0} C_{so} \quad (16)$$

これが C_{so} が求まる。 $C_{so} \cdot VP$ を算定すればよい。

2. 滤過過程に対する漂上モデルの適用

河床から漂上が行く、滤過のみの場合(図-11 2 (4))。

(5) 式において $C_{sj} = 0$ 、 $C_{so} = 0$ として初期条件を与えること

(1) によって計算を実施すればできる。

本問題は対称性適用の可能性を検討するためのアインゼンタ

ン(2)の砂利河床上の Wash load の滤過実験方針と土木研究所にて実施した滑面河床上の滤過実験結果と比較した。アインゼン

ンタインは、流水路における河床: 3.8 cm ~ 16.2 cm の砂利を

しき、3.8 cm ~ 22 cm の Wash load をながらして浮遊砂濃度が半減

する時間となり、理論的な考慮を加えて半減期 T として

$$T = 0.692 P W_0 \quad (P \text{ は濃度分布に関する補正係数}) \quad (17)$$

を得た。本実験範囲(うちも、 U^* / W_0 が大きい方に属する $U^* / W_0 = 75.9$)に対する実験結果(図-5)の通りで、両者の比較は表-3 の通りである。二の両者の一致は非常に良好である。次に U^* / W_0 が 50、30 等の値についても計算を実施し、両者を比較してみると表の通り、 U^* / W_0 が小さくなるにつれて濃度分布形の影響が現われてくる。河床付近の C の分布はほぼ合田の波堆構造に対する $z^{2/3}$ に比例する傾向を示している。

土木研究所にておこなは、滑面 24 cm 木路の上流端で浮遊砂を撒けんしながら補給し、流れ方向 3 m にわたり濃度分布を計測を行った。上流端から 6 m の採水濃度分布を与えて計算結果と比較

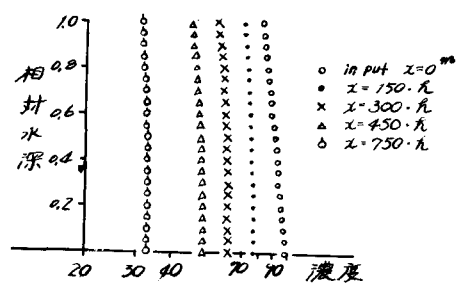
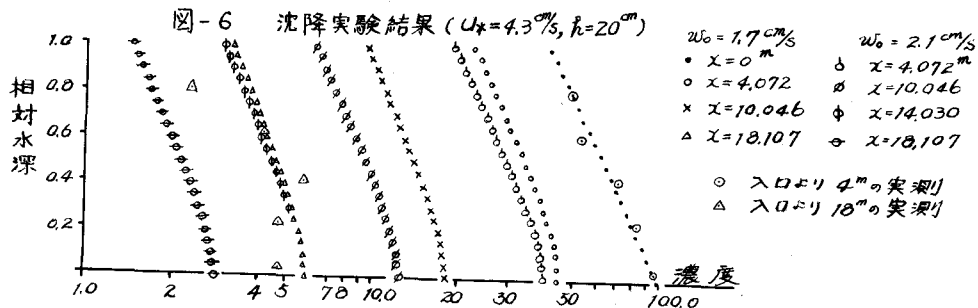


図-5 滤過過程の計算結果 ($U^* / W_0 = 75.9$)

表-3

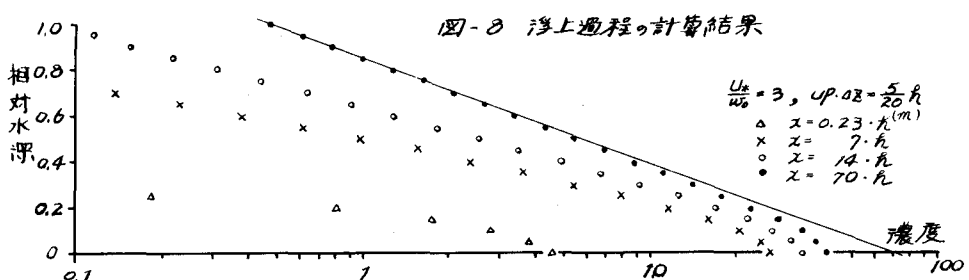
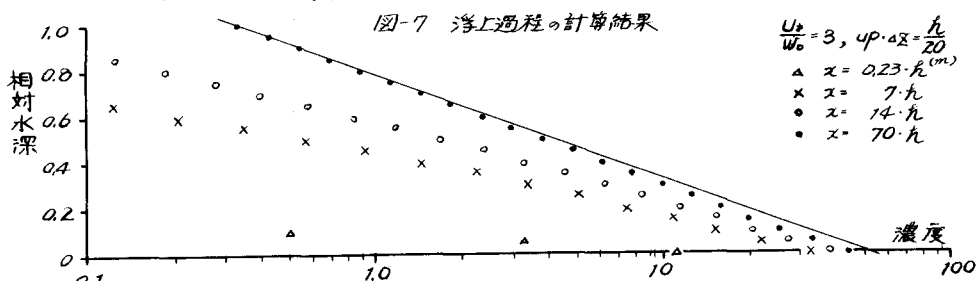
	T・U / Δx	
	Einstein(77式)	今回の計算
75.9	13300	13600
50	7590	8800
30	4160	5050
10	1020	1350



すこし、図-6の通りである。本実験の水理量は水路巾 = 0.6 m, 水深 = 20 cm, $Q = 50 \text{ l/s}$, $U_0 = 4.3 \text{ cm/s}$, 河床勾配 $1/500$ で下流端で堆上げを行ったものである。補給砂粒径は $0.088 \text{ mm} \sim 0.42 \text{ mm}$, 平均 0.22 mm , 20 m 地長の排水沟の平均粒径は 0.16 mm であり、計算は $U_0 = 1.6 \text{ cm/s}$ と 2.1 cm/s の前者について実施した。今後、粒度分布を考慮して計算方法の開発が必要であるが、本モデルによるとも沈降過程の計算は十分の精度を実現しうるものと考えられる。

3. 浮上過程に関する本モデルの適用

浮遊砂の浮上過程については、現在実験と実施中であるが、図-4の浮上過程のちに浮上過程を検討した。ここで $U_0/U_0 = 3$ について、浮上の指数を $UP \cdot \alpha = \frac{h}{20}$ および $\frac{5h}{20}$ について計算してみた。計算結果は図-7、8の通りである。初期の河床付近の濃度変化が特に大きく、拡散によりそれ以降に全水深には擴していく様子がわかる。平衡時の濃度分布が比較的早く、浮上開始点から下流へ 70 h の地長の濃度を示す。カリ＝入力の濃度分布(実線)と比較してば小深の上方の濃度はほぼ一致し、下方の邊がややくさる。これは、浮上の段数が大きいから。今後実験結果と比較して本モデルの改良を試みていく。



[参考文献]

(1) Kalinske, A. A : Trans. AGU (1940)

(2) Einstein, H. A : Proc. ASCE, HY 5 (1968)